К статье Федоровой О.И., Горшкова В.Ю., Маликова А.В. «Изучение состояния грунтовых...»

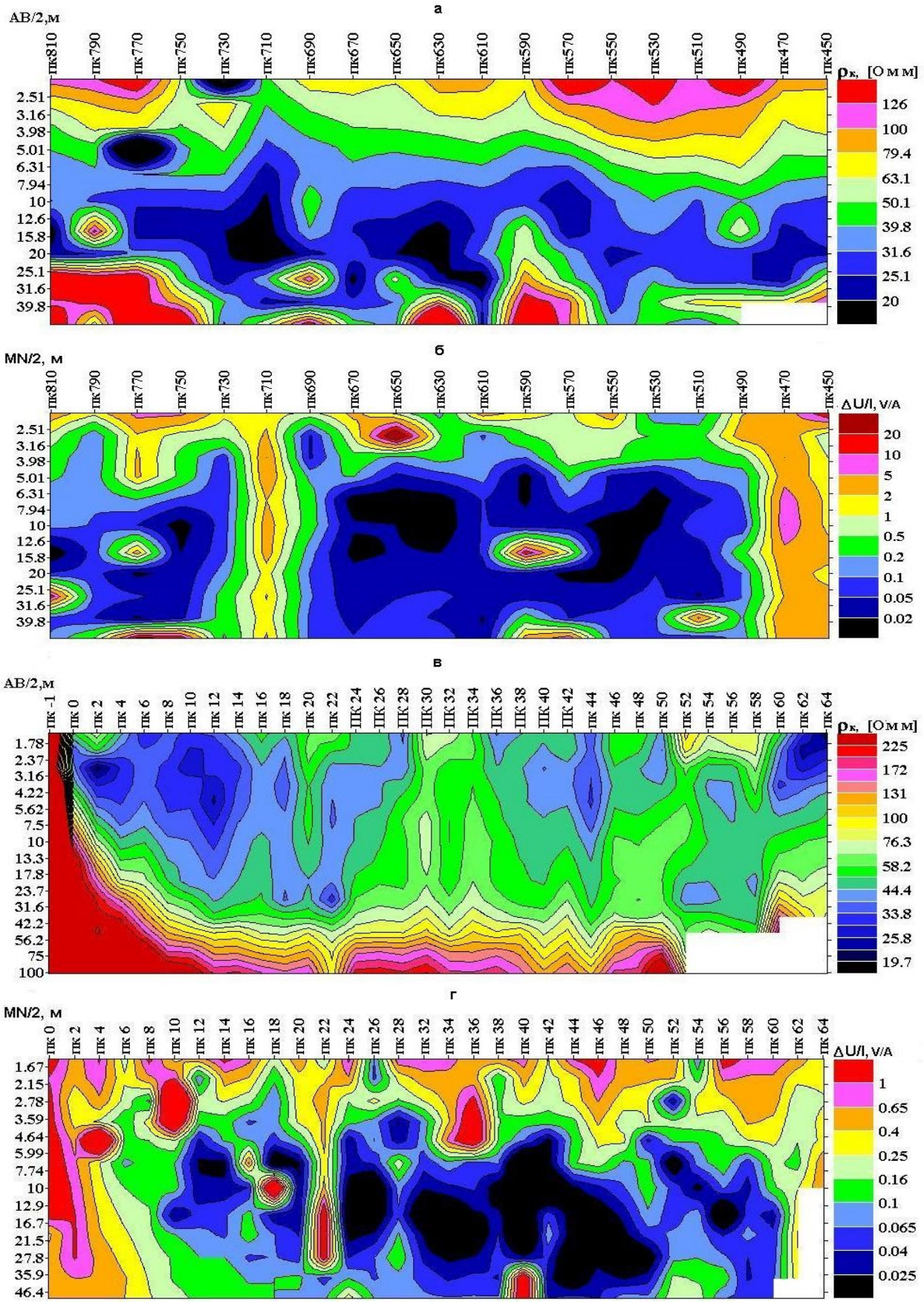

Рис. 1. Разрезы кажущихся сопротивлений (ВЭЗ) и приведенной разности потенциалов (MAN), полученные по результатам обследования плотин на р. Тече (Челябинская обл.) – а, б и р. Ельчевка (Свердловская обл.) – в, г

К статье Ладовского И.В., Мартышко П.С. и др. «Методика и результаты объемного ...»

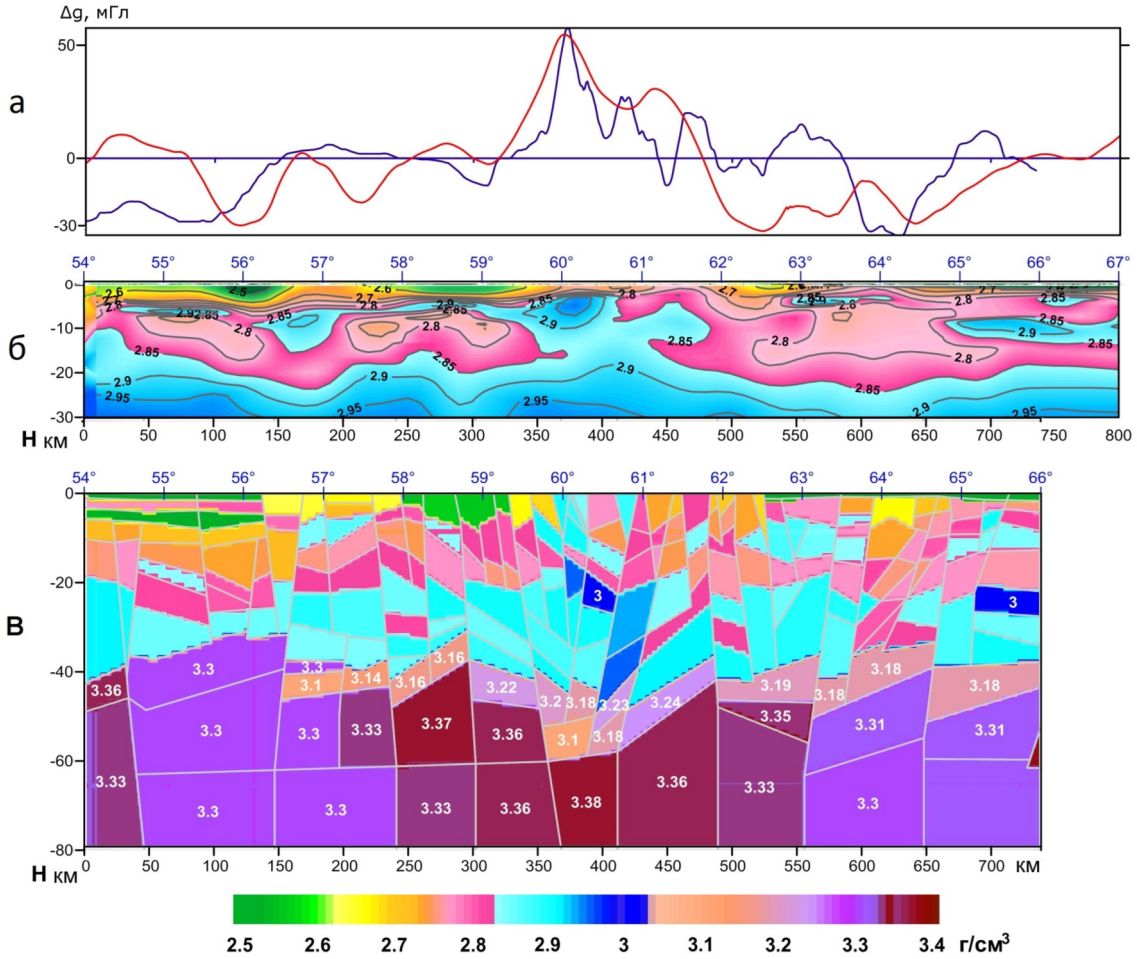

Рис. 2. Двумерные плотностные модели начального приближения строения земной коры и верхней мантии по Свердловскому профилю ГСЗ: б) градиентный плотностной разрез до глубины 30 км (по В.В. Колмогоровой); в) слоисто-блоковая плотностная модель до глубины 80 км (по В.С. Дружинину). Сверху (а) приведены поля аномалий Δg: наблюденное (синим цветом) и расчетное от градиентной плотностной модели до 30 км (красным)

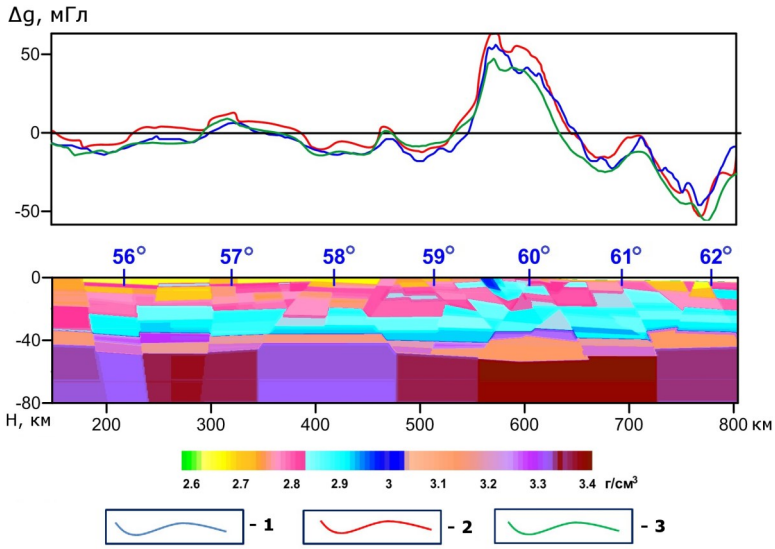

Рис. 8. Сопоставление аномалий поля Δg по профилю Рубин-2: 1) наблюденное; 2) расчетное от 2D модели разреза; 3) расчетное от 3D модели начального приближения, взятое вдоль сечения по выбранному профилю

К статье Горностаевой А.А., Демежко Д.Ю. «Анализ изменений температуры земной поверхности на Урале в 18-19 вв. по данным скважинной термометрии»

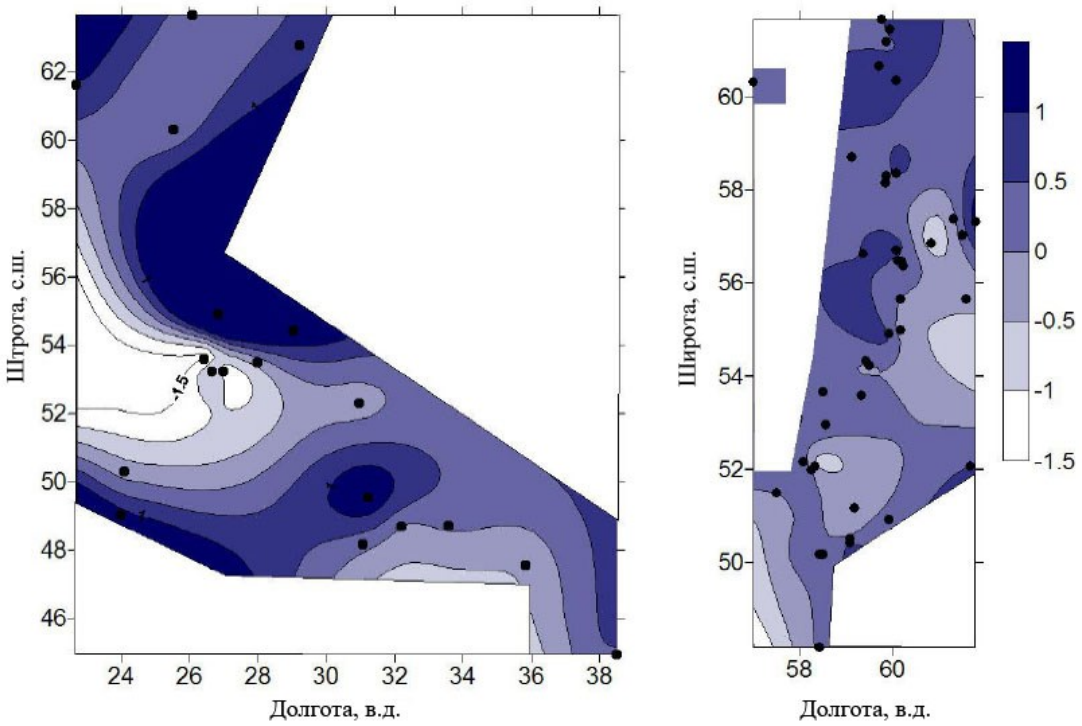

Рис. 5. Пространственные распределения амплитуд температурных изменений за период 18-19 вв. на Урале и в Восточной Европе. Точками обозначено расположение исследованных скважин

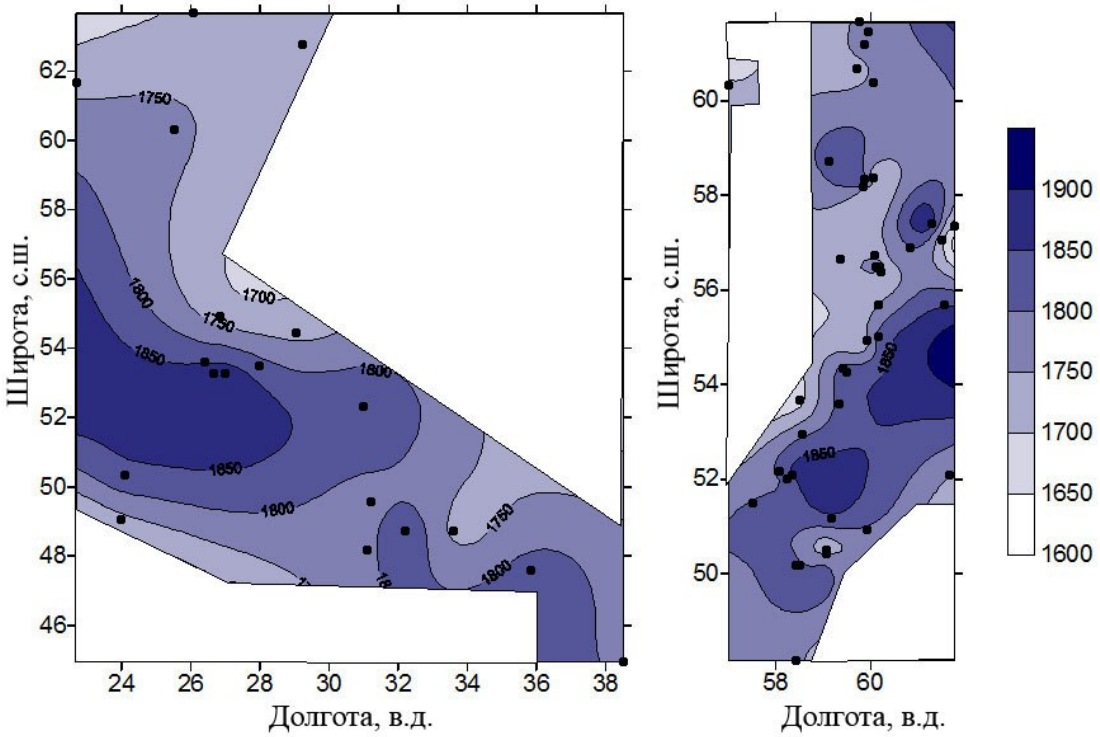

Рис. 7. Пространственные распределения дат начала потепления на Урале и в Восточной Европе. Точками обозначено расположение исследованных скважин

К статье Ладовского И.В., Мартышко П.С. и др. «Методика и результаты объемного ...»

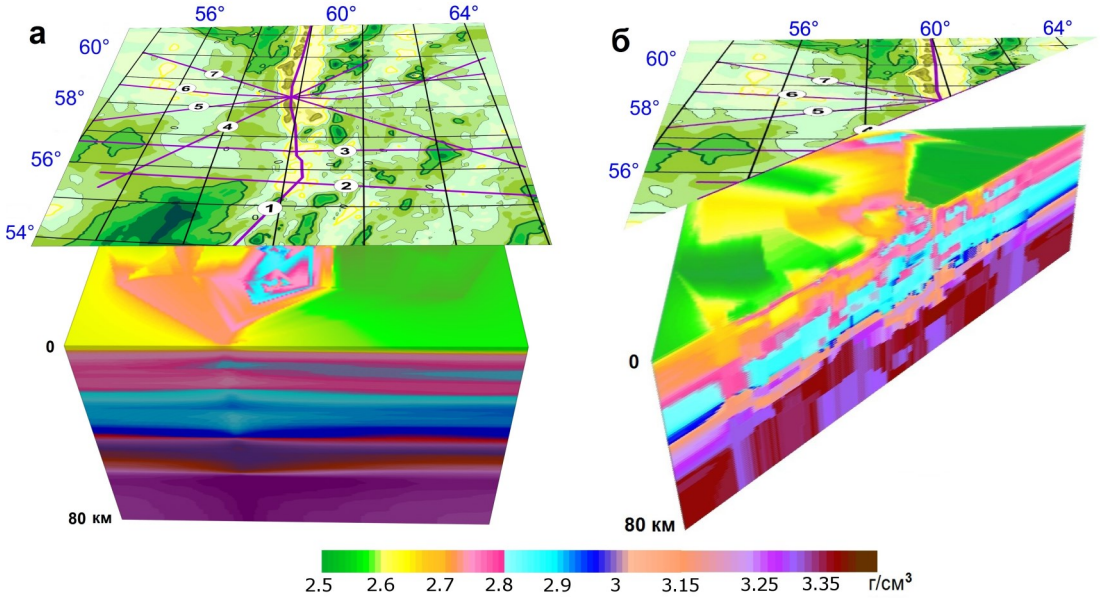

Рис. 5. Плотностная 3D модель начального приближения, полученная интерполяцией плотностей двумерных разрезов в межпрофильное пространство (а); вертикальное сечение 3D плотностной модели по профилю Рубин-2 (б); сверху размещена карта наблюденных аномалий поля Δg

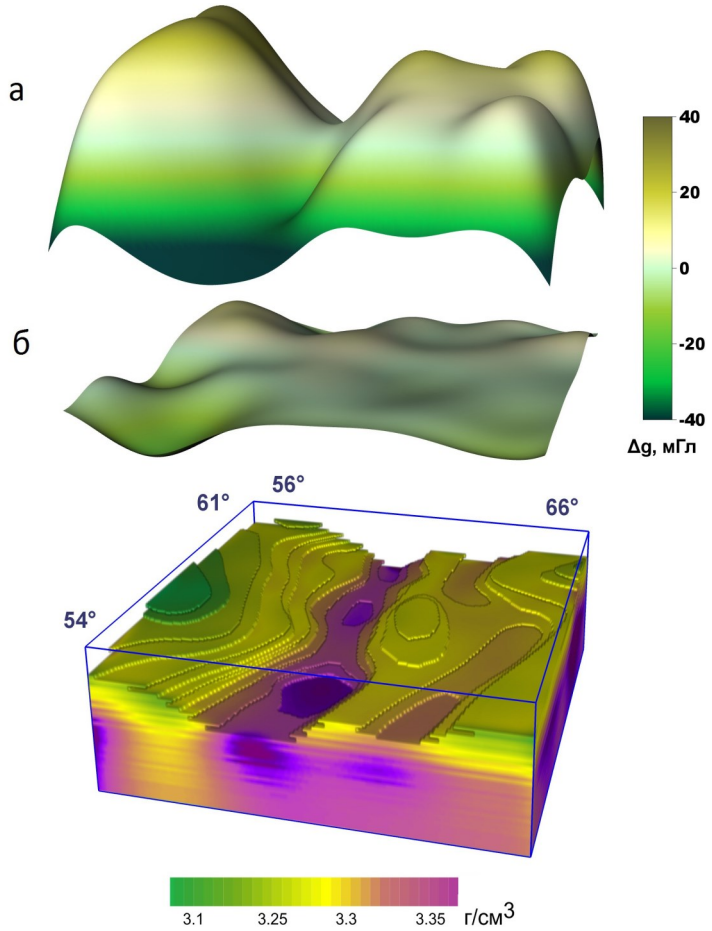

Рис. 14. 3D плотностная модель неоднородной мантии для интервала глубин [M(z)÷80].
Сверху приведены трехмерные графики аномалий гравитационного поля, рассчитанных по двум схемам: а) относительно постоянного значения средневзвешенной плотности общей модели «кора–мантия» σ_0 =3,06 г/см^3; б) относительно соответствующего фрагмента переменной по глубине условно «гидростатической» плотности $\sigma_0(z)$

К статье Ладовского И.В., Мартышко П.С. и др. «Методика и результаты объемного сейсмоплотностного моделирования глубинного строения земной коры и верхней мантии на примере Среднеуральского сегмента»

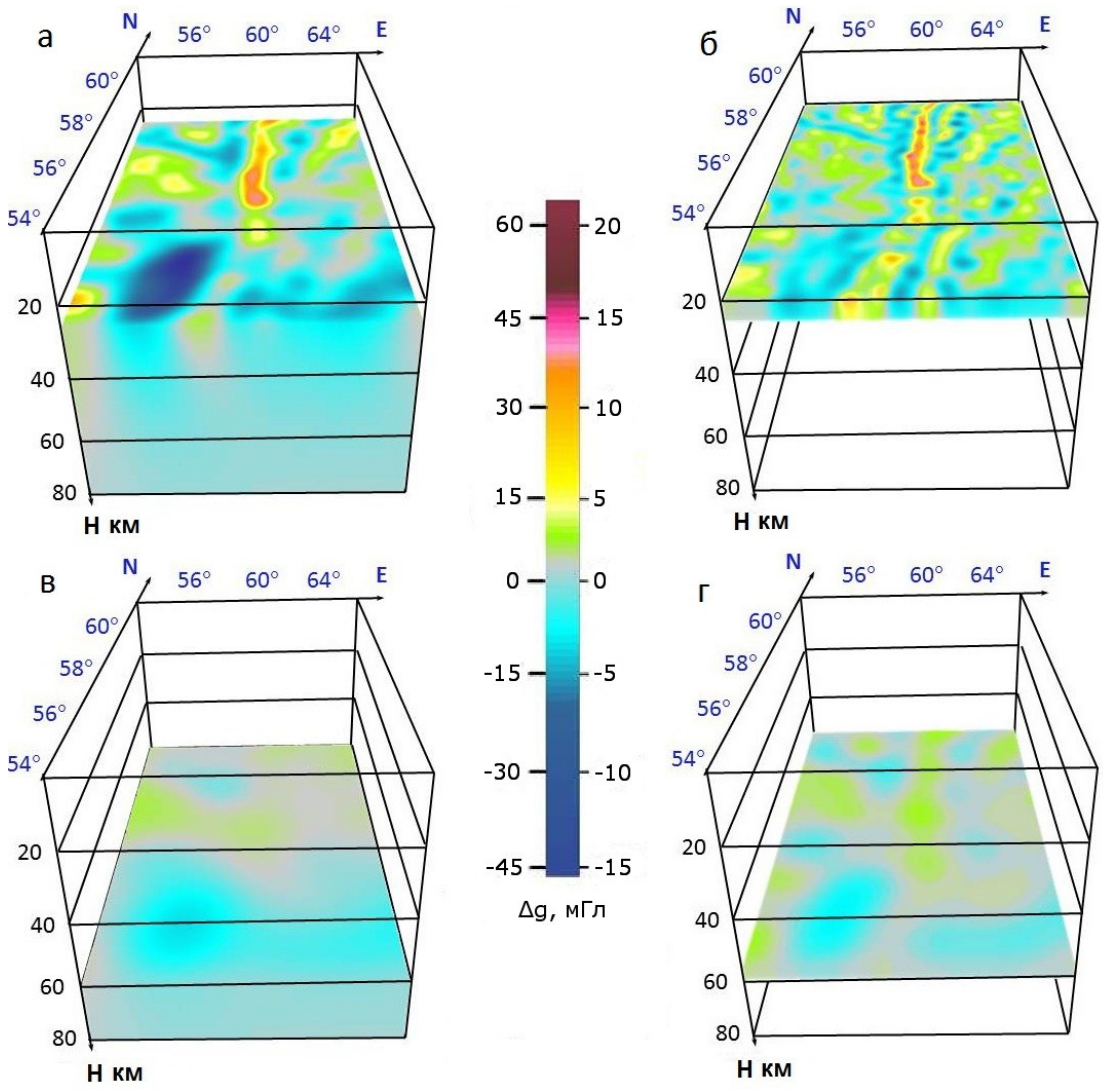

Рис. 9. Повысотные трансформации аномалий наблюденного поля и их послойные разделения: а) поле от слоя ниже 25 км; б) поле от слоя между 20 и 25 км; в) поле от слоя ниже 60 км; г) поле от слоя между 55 и 60 км

К статье Ладовского И.В., Мартышко П.С. и др. «Методика и результаты объемного сейсмоплотностного моделирования глубинного строения земной коры и верхней мантии на примере Среднеуральского сегмента»

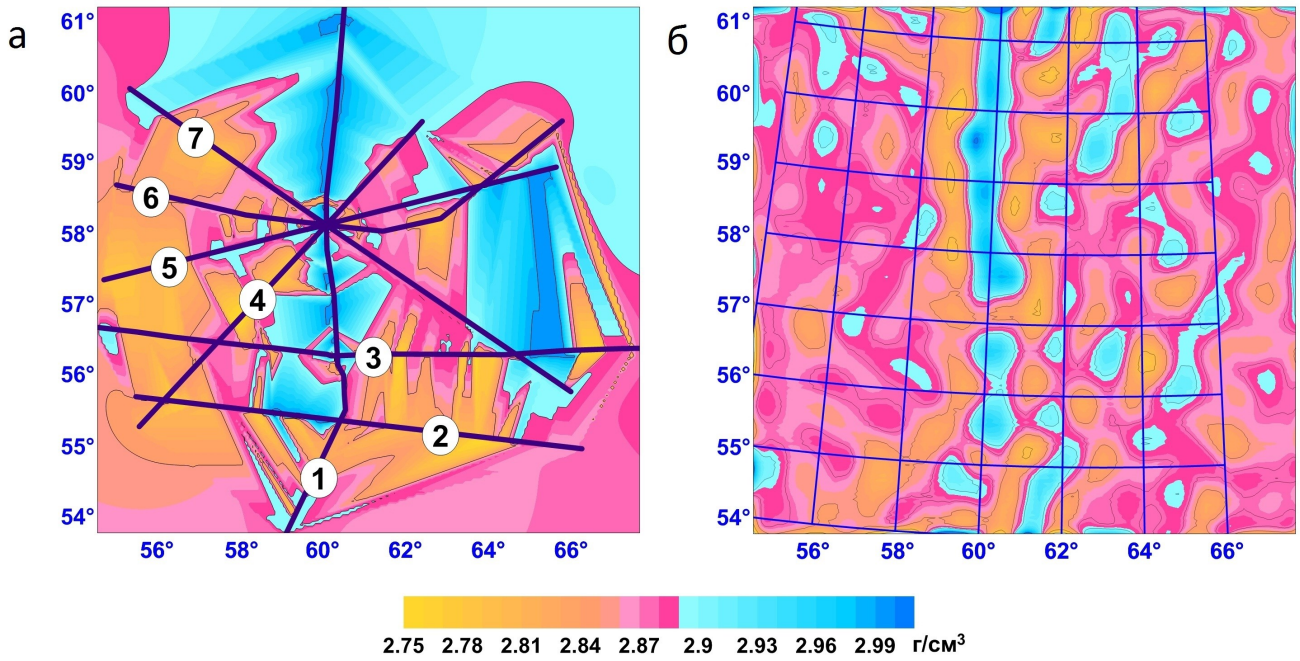

Рис. 11. Карты распределения плотности на горизонтальных срезах на глубине 23 км: а) 3D модели начального приближения; б) подобранной 3D плотностной модели. Обозначение профилей на рис.1

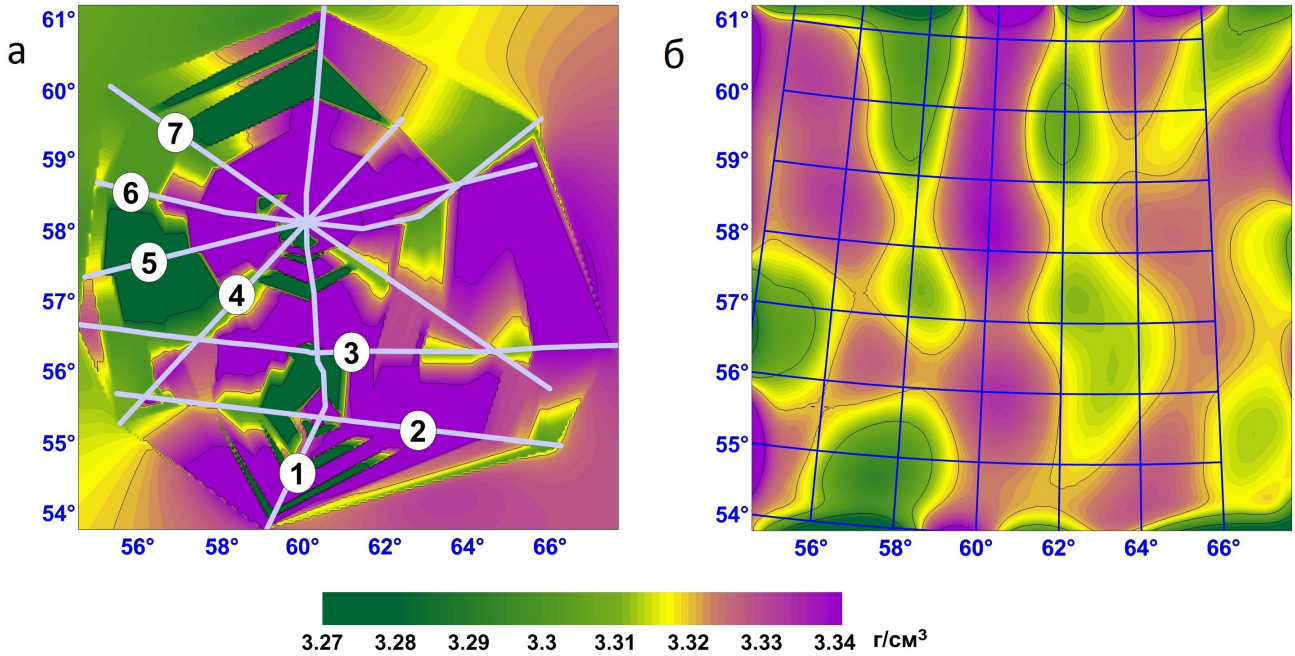

Рис. 12. Карты распределения плотности на горизонтальных срезах на глубине 57 км: а) 3D модели начального приближения; б) подобранной 3D плотностной модели. Обозначение профилей на рис. 1